

# Lista 5 - Inteligência Computacional II

Data de entrega: 16 de setembro de 2022

Filipe Silva

Universidade Federal do Rio de Janeiro (UFRJ)

Programa de Engenharia de Sistemas e Computação (COPPE/PESC)

Rio de Janeiro, Brasil

filipe@cos.ufrj.br

**Resumo**—O trabalho tem o propósito de explorar os conceitos aprendidos em sala de aula por meio de suas respectivas implementações de modelos de Inteligência Artificial (IA). Assim, explora-se o uso de técnicas mais antigas e estabelecidas - como árvore de decisão -, assim como técnicas mais recentes com a utilização de SVM e TensorFlow.

**Index Terms**—Inteligência Artificial, Aprendizado de Máquina, Redes Neurais

## I. INTRODUCTION

Em meio à crescente demanda direta e indireta por dados, tem-se como papel neste trabalho implementar e analisar dois experimentos computacionais com uso de aprendizado de máquina e fazendo uso da linguagem de programação Python. O código utilizado pode ser encontrado no repositório do Github<sup>1</sup>.

## II. FERRAMENTAS UTILIZADAS

Foram utilizados os seguintes *softwares* para realização dos experimentos:

- 1) **Google Data Studio** - plataforma online para exploração mais customizáveis dos dados resultantes
- 2) **Spyder** - IDE para programação científica em Python (3.9.7). Os principais pacotes utilizados foram Sklearn, Tensorflow e Pandas

## III. DESCRIÇÃO DOS EXPERIMENTOS

### A. Experimento 1

O objetivo de avaliar a capacidade de classificação do SVM na base de dados sintética da KEEL conhecida como "Banana dataset"; assim chamada pois as instâncias pertencem a vários clusters que se apresentam no formato de uma banana. A base<sup>2</sup> possui 5300 observações, 2 atributos, e 2 classes.

Serão apresentados os seguintes pontos neste experimento:

- 1) Gráfico de dispersão da base de dados.
- 2) Utilização do SVM com os kernels sigmoide, linear, RBF e polinomial. Para sigmoide e RBF, será variada a utilização do parâmetro gamma ( $\gamma$ ): 1, 0.5 e 0.01; para o polinomial, grau 3. Para cada kernel, será feita a validação cruzada k-fold com três valores para k: 2,

5 e 10. Além disso, uma tabela será colocada com os valores de acurácia e erro.

- 3) Gráficos que indiquem os vetores de suporte para o modelo kernel/k-fold de melhor e pior desempenho.
- 4) Utilização de árvore de decisão em comparação com os modelos SVM.

### B. Experimento 2

O objetivo é construir uma rede neural convolucional para classificar imagens de algarismos. A base<sup>3</sup> utilizada contém dígitos manuscritos, sendo um conjunto de 60.000 exemplos de treinamento e outro de 10.000 exemplos de teste.

- 1) Exemplo de imagens de números de forma sintética.
- 2) Utilização de rede neural convolucional capaz de classificar os algarismos com um nível razoável de acurácia.
- 3) Gráficos com a quantidade de épocas necessárias para atingir o valor máximo de acurácia e mínimo de erro.
- 4) Gráfico de acurácia ao longo das épocas (1-5) de treinamento.

## IV. RESULTADOS

### A. Experimento 1

#### Gráfico de dispersão da base de dados

Pode-se perceber na figura 1 que o conjunto avaliado tem a distribuição em "bananas". Além disso, podemos afirmar que a base de dados está relativamente equilibrado ao avaliar os histogramas de ambos atributos.

Tratando-se das opções de treinamento, podemos observar também que a figura 1 não apresenta uma distribuição linear, tampouco um polinômio de terceiro grau - como sugerido pelo roteiro do trabalho - será suficiente para se ajustar aos dados.

#### Utilização do SVM com os kernels sigmoide, linear, RBF e polinomial<sup>4</sup>

É possível visualizar que apenas as três primeiras linhas da tabela da figura 2 possui acurácia fora da amostra (15%) ou  $K10 \geq 80\%$  que configura um bom limiar a ser superado. Além disso, como dito e esperado anteriormente, nota-se uma

<sup>3</sup><https://www.tensorflow.org/datasets/catalog/mnist>

<sup>4</sup>Foi colocado o "kernel" *tree* na tabela somente para uma visualização completa dos dados. Na verdade, o *tree* corresponde ao modelo de classificação de árvore de decisão, onde o valor de gamma não se aplica.

<sup>1</sup>[https://github.com/dfilipeaugusto/pesc\\_ic2\\_lista\\_5](https://github.com/dfilipeaugusto/pesc_ic2_lista_5)

<sup>2</sup><https://sci2s.ugr.es/keel/dataset.php?cod=182>

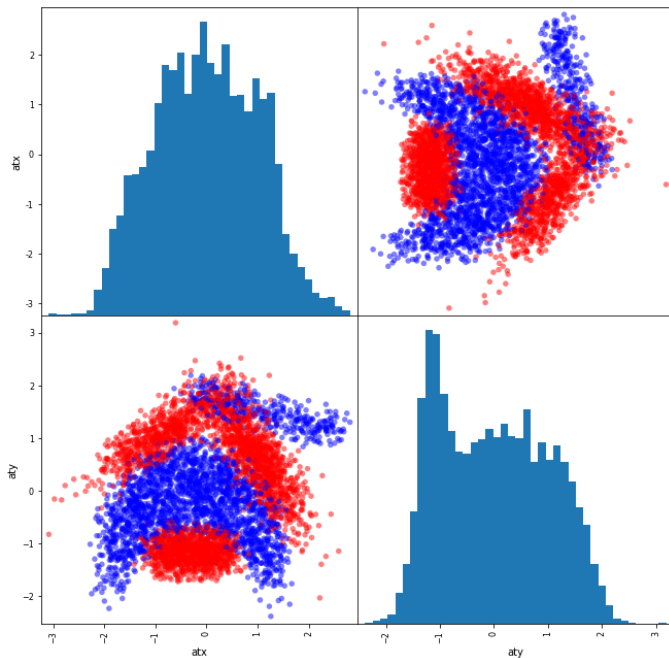


Figura 1. Experimento 1 - Dispersão da base

kernel	gamma	Acc. IN (85%)	Acc. OUT (15%)	Acc. K2	Acc. K5	Acc. K10
rbf	1	90,94%	89,81%	90,58%	90,68%	90,68%
rbf	0.5	90,54%	90,19%	90,38%	90,25%	90,23%
tree	0	100,00%	88,30%	86,87%	86,72%	87,74%
poly	0.500...	63,46%	63,02%	63,68%	63,81%	63,91%
rbf	0.01	59,11%	61,89%	56,96%	58,53%	59,83%
sigmoid	0.01	54,78%	57,36%	55,17%	55,17%	55,17%
linear	0.500...	54,78%	57,36%	55,17%	55,17%	55,17%
sigmoid	0.5	28,37%	31,07%	29,23%	29,26%	29,25%
sigmoid	1	27,79%	30,19%	28,19%	28,21%	28,11%

Figura 2. Experimento 1 - Tabela de acurácia com e sem validação cruzada

abrupta queda no valor de acurácia para o modelo polinomial e kernel linear.

Sobre a variação do hiperparâmetro gamma, é interessante ver o seu comportamento, pois o mesmo é definido antes da etapa de treinamento. O gamma decide quanta curvatura queremos em um limite de decisão; se temos um alto gamma, significa mais curvatura, por outro lado, se temos baixa gama, então menos curvatura - vide o exemplo da figura 3.

### Gráficos que indiquem os vetores de suporte

Pode-se ver o melhor e o pior modelos avaliados nas figuras 4 e 5 respectivamente. É esperado também que o kernel RBF tenha um desempenho em acurácia melhor, pois o mesmo usa base radial, ou seja, curva sobre os pontos de dados, o que é compatível as "bananas" do conjunto de dados.

Curiosamente, também pode-se observar o mesmo tipo de gráfico para o kernel linear na figura 6. Percebe-se que o

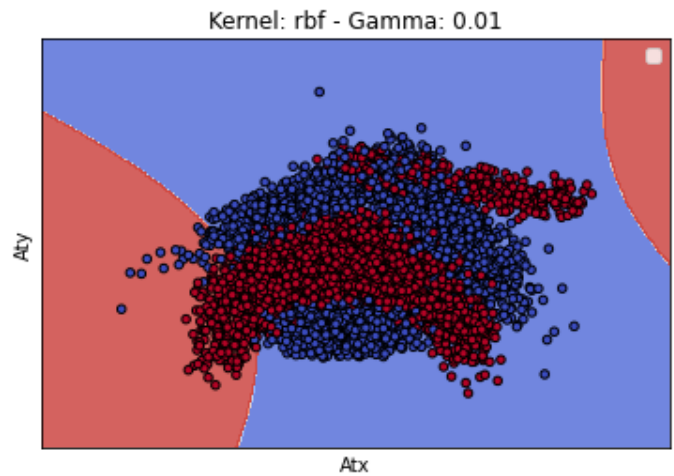


Figura 3. Experimento 1 - Vetores de suporte - RBF - Gamma: 0.01

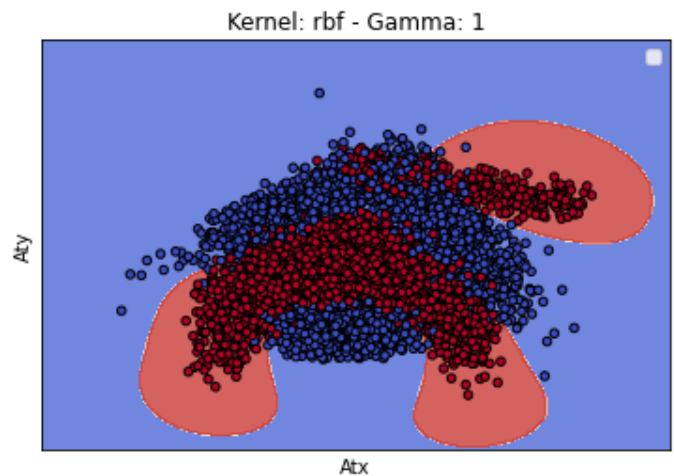


Figura 4. Experimento 1 - Vetores de suporte - RBF - Gamma 1.0

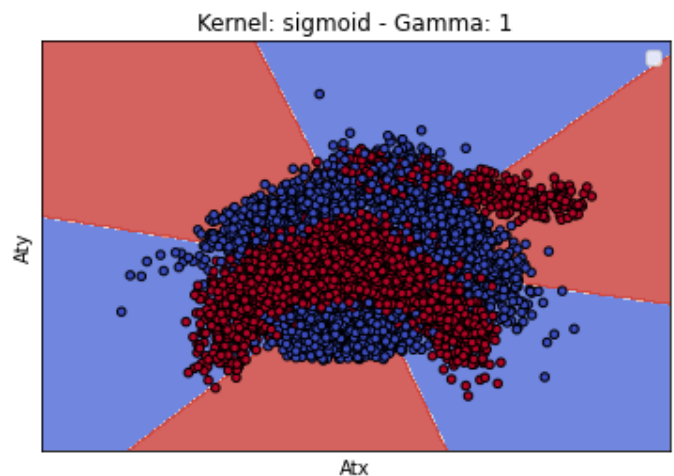


Figura 5. Experimento 1 - Vetores de suporte - Sigmoide - Gamma 1.0

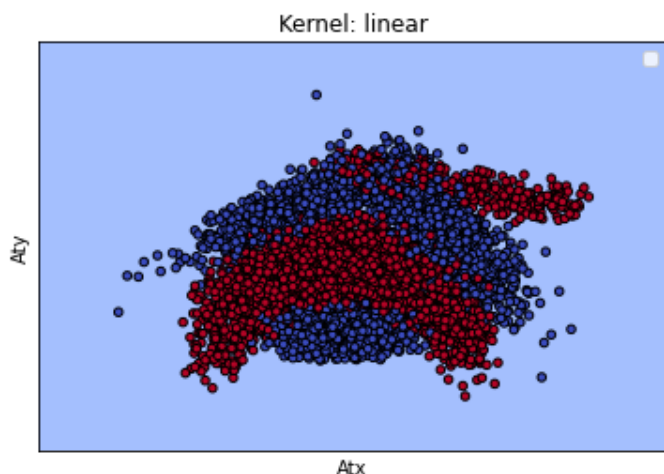


Figura 6. Experimento 1 - Vetores de suporte - Linear

algoritmo basicamente categorizou todos os dados com uma classe tão somente. Desta forma, considerando que há apenas duas classes relativamente equilibradas, é razoável afirmar que a acurácia de tal modelo ficaria próximo de 50% - como é possível verificar na tabela da figura 2.

#### Utilização de árvore de decisão em comparação com os modelos SVM

A opção por tal utilizada foi somente pela razão de que o modelo de árvore de decisão é um método antigo vigente - ou seja, ainda em uso na literatura e no mercado -, foi apresentado em aula e confere bons índices de acurácia com baixo uso de recursos computacionais.

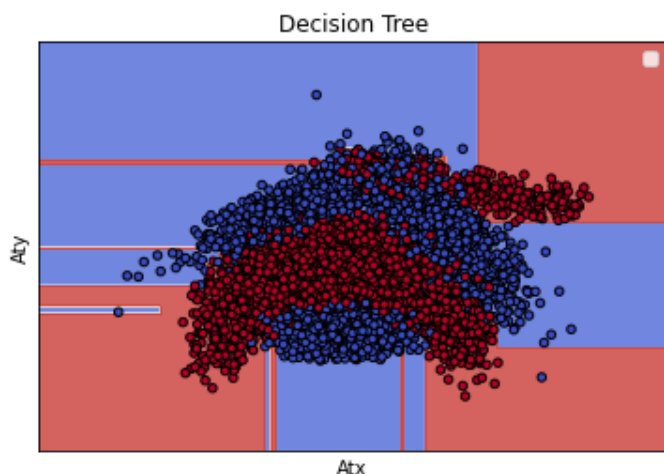


Figura 7. Experimento 1 - Árvore de Decisão

Apesar do sobreajuste natural do modelo nos dados de treinamento, pode-se ver que, fora da amostra, o kernel RBF com  $\gamma = 1$  ainda possui uma acurácia maior em todos os outros casos (incluindo validação cruzada). Entretanto, o modelo de Árvore se mantém no pódio dos melhores ajustes,

pois ocupa o terceiro lugar na tabela da figura 2, que está ordenada de forma decrescente pela acurácia K10.

#### B. Experimento 2

##### Exemplo de imagens de números de forma sintética



Figura 8. Experimento 2 - Exemplos de dígitos manuscritos - MNIST. Fonte: Towards Data Science

A estrutura do Keras já contém o conjunto de dados MNIST que pode ser baixado em tempo de execução do algoritmo Python. Conforme dito em III-B, a base contém 60.000 imagens manuscritas que podem ser usadas para treinar uma rede neural.

#### Construa uma rede neural convolucional capaz de classificar

Foi utilizado Tensorflow para criação de uma rede com quatro camadas como é possível ver na figura 9. Além disso, é importante ressaltar que foi escolhido o otimizador Adam, pois é um bom método de otimização para descida de gradiente pelo baixo uso de memória em comparação com outros otimizadores e ainda assim é eficiente.

#### Gráficos com a quantidade de épocas necessárias para atingir o valor máximo de acurácia e mínimo de erro

Durante o treinamento, foram utilizadas 100 épocas (figura 9). É possível notar que na 25ª época foi o primeiro a ser alcançado o melhor de acurácia e perda. Além disso, é importante notar que nas épocas 39 e 71 (figura 10) pequenos vales são aparentes devido o *overfitting* do processo de treinamento.

Desta forma, é possível afirmar que a melhor época para parada do treinamento muito possivelmente estará antes da 25ª, pois foi atingido o pico de acurácia neste momento. Para otimização da escolha, é importante que tivéssemos um outro conjunto de acurácia e perda para dados fora da amostra - que não está no roteiro do trabalho -, pois seria fundamental determinar o limiar.

```

model = tf.keras.models.Sequential()

model.add(tf.keras.layers.Flatten())
model.add(tf.keras.layers.Dense(128, tf.nn.relu))
model.add(tf.keras.layers.Dense(128, tf.nn.relu))
model.add(tf.keras.layers.Dense(10, tf.nn.softmax))

model.compile(

    optimizer="adam",
    loss="sparse_categorical_crossentropy",
    metrics=["accuracy"]

)

result = model.fit(

    x_train,
    y_train,
    batch_size=200,
    epochs=100,
    callbacks=[Iteration_monitor()]

)

```

Figura 9. Experimento 2 - Camadas da rede neural

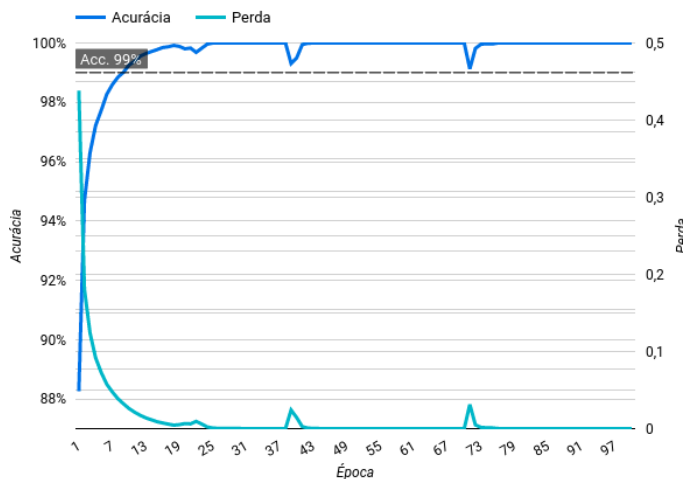


Figura 10. Experimento 2 - Acurácia e perda - Época  $\leq 100$

O gráfico da figura 11 representa os mesmos valores da figura 10, tendo apenas a época limitada a 30 para melhor visualização do comportamento durante o treinamento.

### Gráfico de acurácia ao longo das épocas (1-5) de treinamento

Neste sentido, é interessante notar também que, enquanto pode-se notar um ponto de partida em torno de 88% para a época 1 na figura 11, tem-se que os *batches* desta época (figura 12) possuem a maior variação de acurácia entre todas. É possível observar pela última figura colocada que a época 1 começa com 10,5% de acurácia e finaliza com 88%; a

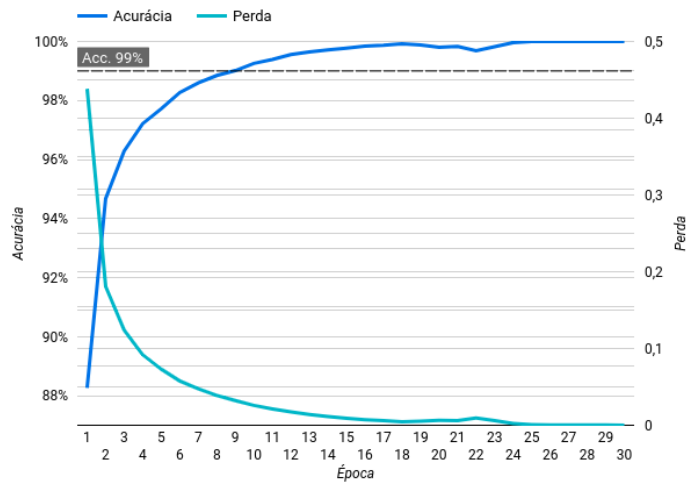


Figura 11. Experimento 2 - Acurácia e perda - Época  $\leq 30$

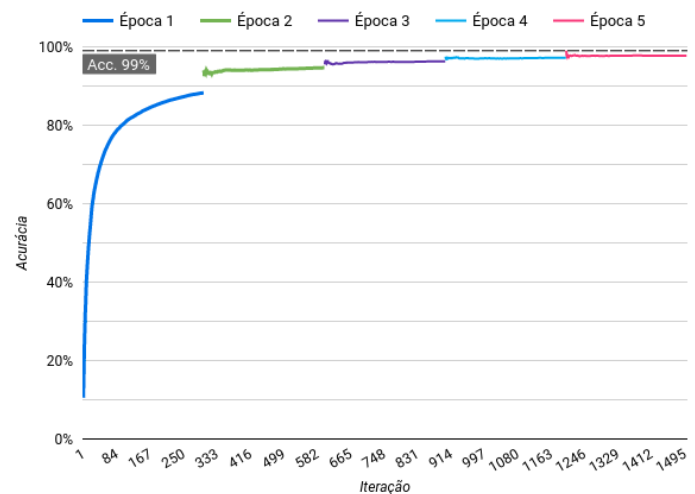


Figura 12. Experimento 2 - Acurácia e perda por época e *batch*

partir desse momento, as demais épocas (iterações) têm um crescimento linear ao invés de exponencial.

### REFERÊNCIAS

- [1] Learning From Data MOOC - The Lectures. Acesso em 15/09/2022. <https://work.caltech.edu/lectures.html>
- [2] Evsukoff, Alexandre G. Inteligência Computacional I. Disciplina de graduação da Escola Politécnica (UFRJ).
- [3] Almeida, Heraldo L. Introdução ao Aprendizado de Máquina. Disciplina de graduação da Escola Politécnica (UFRJ).
- [4] Handwritten digit recognition with MNIST on iOS with Keras — by Eridy Lukau — Towards Data Science. Acesso em 15/09/2022. <https://towardsdatascience.com/handwritten-digit-recognition-with-mnist-on-ios-with-keras-e85e194f9fa5>